

Starkniederschlagshöhen und -spenden gemäß KOSTRA-DWD-2020

Rasterfeld 125096

(Zeile 125, Spalte 96)

Regenspende und Bemessungsniederschlagswerte in Abhängigkeit von Wiederkehrzeit T und Dauerstufe D

| Dauerstufe D | | Wiederkehrzeit T | | | | | | | | | | | | | | | | | |
|--------------|-----|------------------|------------|------|------------|------|------------|------|------------|------|------------|-------|------------|-------|------------|-------|------------|-------|------------|
| | | 1 a | | 2 a | | 3 a | | 5 a | | 10 a | | 20 a | | 30 a | | 50 a | | 100 a | |
| min | Std | mm | l / (s ha) | mm | l / (s ha) | mm | l / (s ha) | mm | l / (s ha) | mm | l / (s ha) | mm | l / (s ha) | mm | l / (s ha) | mm | l / (s ha) | mm | l / (s ha) |
| 5 | | 5,8 | 193,3 | 7,1 | 236,7 | 7,9 | 263,3 | 9,0 | 300,0 | 10,4 | 346,7 | 12,0 | 400,0 | 13,0 | 433,3 | 14,3 | 476,7 | 16,2 | 540,0 |
| 10 | | 7,9 | 131,7 | 9,6 | 160,0 | 10,7 | 178,3 | 12,1 | 201,7 | 14,1 | 235,0 | 16,2 | 270,0 | 17,6 | 293,3 | 19,4 | 323,3 | 22,0 | 366,7 |
| 15 | | 9,2 | 102,2 | 11,2 | 124,4 | 12,4 | 137,8 | 14,1 | 156,7 | 16,4 | 182,2 | 18,8 | 208,9 | 20,4 | 226,7 | 22,5 | 250,0 | 25,5 | 283,3 |
| 20 | | 10,1 | 84,2 | 12,3 | 102,5 | 13,7 | 114,2 | 15,5 | 129,2 | 18,1 | 150,8 | 20,8 | 173,3 | 22,5 | 187,5 | 24,8 | 206,7 | 28,1 | 234,2 |
| 30 | | 11,5 | 63,9 | 14,0 | 77,8 | 15,6 | 86,7 | 17,6 | 97,8 | 20,6 | 114,4 | 23,6 | 131,1 | 25,6 | 142,2 | 28,2 | 156,7 | 31,9 | 177,2 |
| 45 | | 12,9 | 47,8 | 15,8 | 58,5 | 17,5 | 64,8 | 19,8 | 73,3 | 23,2 | 85,9 | 26,6 | 98,5 | 28,8 | 106,7 | 31,8 | 117,8 | 36,0 | 133,3 |
| 60 | 1 | 14,0 | 38,9 | 17,1 | 47,5 | 19,0 | 52,8 | 21,5 | 59,7 | 25,1 | 69,7 | 28,9 | 80,3 | 31,3 | 86,9 | 34,5 | 95,8 | 39,1 | 108,6 |
| 90 | 1,5 | 15,7 | 29,1 | 19,1 | 35,4 | 21,3 | 39,4 | 24,1 | 44,6 | 28,1 | 52,0 | 32,2 | 59,6 | 35,0 | 64,8 | 38,5 | 71,3 | 43,6 | 80,7 |
| 120 | 2 | 16,9 | 23,5 | 20,7 | 28,8 | 23,0 | 31,9 | 26,0 | 36,1 | 30,3 | 42,1 | 34,8 | 48,3 | 37,8 | 52,5 | 41,6 | 57,8 | 47,1 | 65,4 |
| 180 | 3 | 18,9 | 17,5 | 23,0 | 21,3 | 25,5 | 23,6 | 28,9 | 26,8 | 33,7 | 31,2 | 38,7 | 35,8 | 42,0 | 38,9 | 46,3 | 42,9 | 52,4 | 48,5 |
| 240 | 4 | 20,3 | 14,1 | 24,8 | 17,2 | 27,5 | 19,1 | 31,1 | 21,6 | 36,4 | 25,3 | 41,7 | 29,0 | 45,3 | 31,5 | 49,9 | 34,7 | 56,5 | 39,2 |
| 360 | 6 | 22,5 | 10,4 | 27,5 | 12,7 | 30,6 | 14,2 | 34,6 | 16,0 | 40,4 | 18,7 | 46,3 | 21,4 | 50,2 | 23,2 | 55,4 | 25,6 | 62,7 | 29,0 |
| 540 | 9 | 25,0 | 7,7 | 30,5 | 9,4 | 33,9 | 10,5 | 38,3 | 11,8 | 44,8 | 13,8 | 51,4 | 15,9 | 55,7 | 17,2 | 61,4 | 19,0 | 69,5 | 21,5 |
| 720 | 12 | 26,9 | 6,2 | 32,8 | 7,6 | 36,5 | 8,4 | 41,2 | 9,5 | 48,2 | 11,2 | 55,3 | 12,8 | 59,9 | 13,9 | 66,1 | 15,3 | 74,8 | 17,3 |
| 1080 | 18 | 29,8 | 4,6 | 36,3 | 5,6 | 40,4 | 6,2 | 45,7 | 7,1 | 53,4 | 8,2 | 61,3 | 9,5 | 66,4 | 10,2 | 73,2 | 11,3 | 82,9 | 12,8 |
| 1440 | 24 | 32,1 | 3,7 | 39,1 | 4,5 | 43,4 | 5,0 | 49,2 | 5,7 | 57,4 | 6,6 | 65,9 | 7,6 | 71,4 | 8,3 | 78,7 | 9,1 | 89,2 | 10,3 |
| 2880 | 48 | 38,2 | 2,2 | 46,6 | 2,7 | 51,7 | 3,0 | 58,5 | 3,4 | 68,4 | 4,0 | 78,5 | 4,5 | 85,1 | 4,9 | 93,8 | 5,4 | 106,2 | 6,1 |
| 4320 | 72 | 42,3 | 1,6 | 51,6 | 2,0 | 57,3 | 2,2 | 64,8 | 2,5 | 75,7 | 2,9 | 86,9 | 3,4 | 94,2 | 3,6 | 103,8 | 4,0 | 117,6 | 4,5 |
| 5760 | 96 | 45,5 | 1,3 | 55,4 | 1,6 | 61,6 | 1,8 | 69,7 | 2,0 | 81,4 | 2,4 | 93,4 | 2,7 | 101,3 | 2,9 | 111,6 | 3,2 | 126,4 | 3,7 |
| 7200 | 120 | 48,1 | 1,1 | 58,6 | 1,4 | 65,2 | 1,5 | 73,7 | 1,7 | 86,1 | 2,0 | 98,8 | 2,3 | 107,2 | 2,5 | 118,1 | 2,7 | 133,7 | 3,1 |
| 8640 | 144 | 50,3 | 1,0 | 61,4 | 1,2 | 68,2 | 1,3 | 77,2 | 1,5 | 90,1 | 1,7 | 103,5 | 2,0 | 112,2 | 2,2 | 123,6 | 2,4 | 140,0 | 2,7 |
| 10080 | 168 | 52,3 | 0,9 | 63,8 | 1,1 | 70,9 | 1,2 | 80,2 | 1,3 | 93,7 | 1,5 | 107,5 | 1,8 | 116,6 | 1,9 | 128,5 | 2,1 | 145,6 | 2,4 |

Starkniederschlagshöhen und -spenden gemäß KOSTRA-DWD-2020

Rasterfeld 125096

(Zeile 125, Spalte 96)

Örtliche Unsicherheiten in Abhängigkeit von Wiederkehrzeit T und Dauerstufe D

| Dauerstufe D | | Wiederkehrzeit T | | | | | | | | |
|--------------|-----|------------------|-----|-----|-----|------|------|------|------|-------|
| | | 1 a | 2 a | 3 a | 5 a | 10 a | 20 a | 30 a | 50 a | 100 a |
| min | Std | ± % | ± % | ± % | ± % | ± % | ± % | ± % | ± % | ± % |
| 5 | | 9 | 10 | 10 | 10 | 11 | 11 | 12 | 12 | 12 |
| 10 | | 10 | 12 | 13 | 14 | 15 | 15 | 16 | 16 | 17 |
| 15 | | 12 | 14 | 15 | 16 | 17 | 18 | 18 | 19 | 19 |
| 20 | | 13 | 15 | 16 | 17 | 18 | 19 | 19 | 20 | 20 |
| 30 | | 14 | 16 | 17 | 18 | 19 | 20 | 20 | 21 | 22 |
| 45 | | 14 | 16 | 17 | 18 | 19 | 20 | 21 | 21 | 22 |
| 60 | 1 | 14 | 16 | 17 | 18 | 19 | 20 | 21 | 21 | 22 |
| 90 | 1,5 | 13 | 15 | 16 | 17 | 19 | 19 | 20 | 20 | 21 |
| 120 | 2 | 13 | 15 | 16 | 17 | 18 | 19 | 19 | 20 | 20 |
| 180 | 3 | 12 | 14 | 15 | 16 | 17 | 18 | 18 | 19 | 19 |
| 240 | 4 | 11 | 13 | 14 | 15 | 16 | 17 | 17 | 18 | 19 |
| 360 | 6 | 10 | 12 | 13 | 14 | 15 | 16 | 16 | 17 | 17 |
| 540 | 9 | 9 | 11 | 12 | 13 | 14 | 15 | 15 | 16 | 16 |
| 720 | 12 | 9 | 10 | 11 | 12 | 13 | 14 | 14 | 15 | 15 |
| 1080 | 18 | 9 | 10 | 10 | 11 | 12 | 13 | 13 | 14 | 14 |
| 1440 | 24 | 8 | 9 | 10 | 11 | 12 | 12 | 13 | 13 | 14 |
| 2880 | 48 | 9 | 9 | 10 | 10 | 11 | 11 | 12 | 12 | 12 |
| 4320 | 72 | 10 | 10 | 10 | 10 | 11 | 11 | 11 | 12 | 12 |
| 5760 | 96 | 11 | 11 | 11 | 11 | 11 | 11 | 11 | 12 | 12 |
| 7200 | 120 | 12 | 11 | 11 | 11 | 11 | 11 | 12 | 12 | 12 |
| 8640 | 144 | 12 | 12 | 11 | 11 | 11 | 12 | 12 | 12 | 12 |
| 10080 | 168 | 13 | 12 | 12 | 12 | 12 | 12 | 12 | 12 | 12 |

Parameter für abweichende T und D

Lokationsparameter ξ (Xi)

14,45046504

Skalenparameter α (Alpha)

4,40174014

Formparameter κ (Kappa)

-0,1

1. Koutsoyiannis-Parameter θ (Theta)

0,03798011

2. Koutsoyiannis-Parameter η (Eta)

0,74866081

Parameter für dauerstufenübergreifende Extremwertschätzung nach KOUTSOYIANNIS et al. 1998.

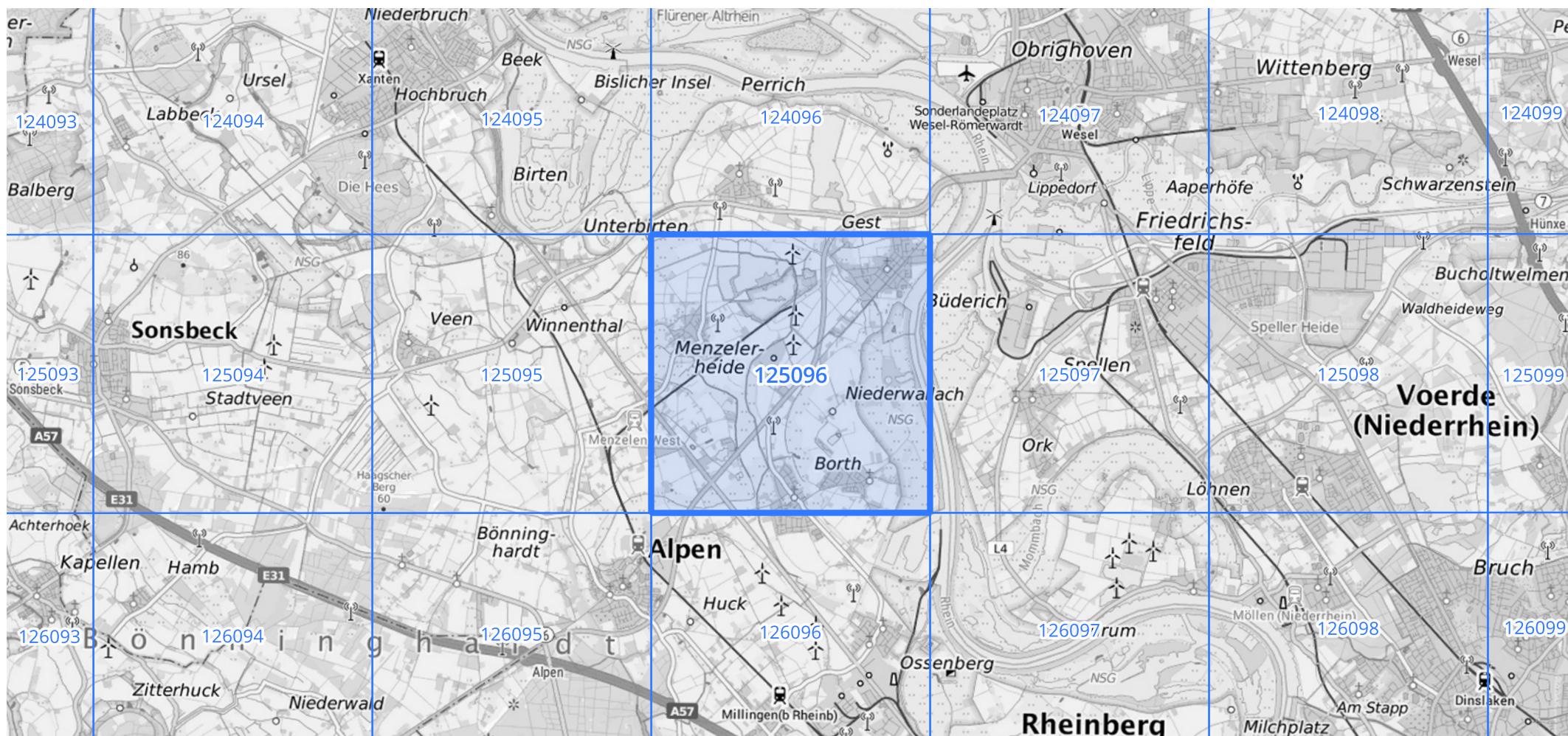
Siehe auch Anwendungshilfe zu KOSTRA-DWD-2020 des Deutschen Wetterdienstes.

Starkniederschlagshöhen und -spenden gemäß KOSTRA-DWD-2020

Rasterfeld 125096

(Zeile 125, Spalte 96)

Übersichtskarte des Rasterfeldes 125096, M 1 : 100 000



Quelle Rasterdaten: KOSTRA-DWD-2020 des Deutschen Wetterdienstes, Stand 12/2022.

Seite 3 von 3

Kartendarstellung: © Bundesamt für Kartographie und Geodäsie (2023), Datenquellen: https://sgx.geodatenzentrum.de/web_public/gdz/datenquellen/Datenquellen_TopPlusOpen.html

Für die Richtigkeit und Aktualität der Angaben wird keine Gewähr übernommen. Erstellt 01/2023.